

УДК 621.3.08:537.2

МОДЕЛОВАННЯ РОБОТИ ГЕНЕРАТОРА ЛПД

Куценко Ю.М., к.т.н.

Гаврійський державний агротехнологічний університет

Тел. (0619) 42-31-59

E-mail: kucenka@mail.ru

Анотація – обґрутовано параметри генератора міліметрового діапазону в системі вимірювання діелектричної проникності газового середовища рослин, представлено аналіз флюктаційних характеристик.

Ключові слова – генератор мм діапазону на ЛПД, електронна перебудова частоти, флюктаційні характеристики, діелектрична проникність, газове середовище рослин

Постановка проблеми. Одним з основних вузлів електронної системи вимірювання діелектричної проникності газового середовища рослин є високостабільне за частотою КВЧ- джерело.

КВЧ – джерело повинне забезпечити електронну перебудову частоти в широкому діапазоні частот і вихідну потужність, достатню для компенсації втрат в хвилеводному тракті.

Однією із важливих позицій в процесі вимірювань є флюктаційні характеристики генератора мм діапазону на лавинно-прольотному діоді (ЛПД).

Аналіз останніх досліджень. До одного з перспективних джерел 3-мм діапазону хвиль можуть бути віднесені ГЛПД з варакторною перебудовою частоти, керовані напругою.

Дослідженням флюктуаційних характеристик в ГЛПД присвячено значне число робіт [1,2,3]. Аналіз цих робіт показує, що основними джерелами нестабільноті амплітуди і частоти коливань вихідного сигналу є природні і технічні флюктуації. До природних флюктуацій відноситься шум лавини (дробовий шум), обумовлений флюктуаціями струму в шарі множення за рахунок лавинного процесу, а також тепловий шум, що генерується в дрейфовій області і на омічних опорах діода і контуру. До технічних – флікер-шум, обумовлений неоднорідністю пробою за площею $p-n$ переходу і умов на його межі, а також модуляційний шум, обумовлений флюктуаціями параметрів ЛПД, струму змішування і резонансної системи.

Проте результати цих робіт не можуть бути використані для систем вимірювання ДП дихання рослин, у зв'язку з чим виникає необхідність проведення додаткових наукових досліджень.

Основна частина. Розглянемо конструкцію ГЛПД з послідовним включенням варактора, що є хвилеводом перетином $2,4 \times 1,2 \text{ мм}^2$ з двома діодоутримувачами 1 різних діаметрів, розташованими на одній осі широкої стінки хвилеводу (рис. 1).

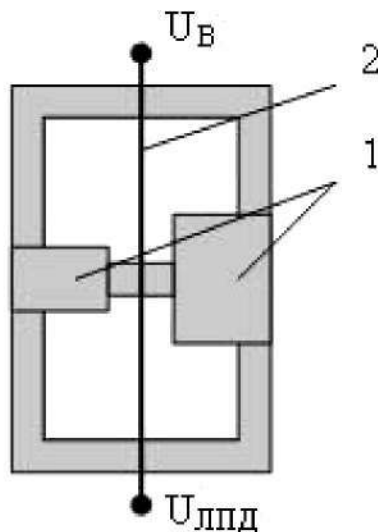


Рис.1. Конструкція генератора, що електрично перебудовується.

На одному утримувачі знаходиться варактор типу АА631, на іншому – ЛПД. Живлення на діоди подається за допомогою струмопровідних мікросмугових ліній 2. Щоб смугові лінії не замикалися одна на одну, вони покриті полімідною плівкою з діелектричною проникністю $\varepsilon=4$. У ланцюг живлення включені фільтри нижніх частот. Варактор має коефіцієнт перекриття 2,2 і ємність при напрузі $U=6,0 \text{ В}$, рівну $0,1 \text{ пФ}$. У мікрометровому діапазоні довжин хвиль ємність корпусу варактора $C_{KB}=0,1 \text{ пФ}$, індуктивність корпусу $L_{KB}=0,1 \text{nГн}$, опір втрат $R_s = 10 \text{ Ом}$. Границя напруги для вказаного типу варактора – 40 В.

З урахуванням технологічних чинників змінна ємність варактора обчислюється за формулою [4]

$$C(U) = \sqrt{\frac{0,25839}{10,4165 + U}} \text{ пФ}, \quad (1)$$

Для аналізу частотної характеристики ГЛПД з послідовним включенням варактора необхідно отримати рівняння, що пов'язує частоту з геометричними розмірами коливальної системи, технологічними і електричними параметрами діодів.

Вказане рівняння можна отримати, прирівнявши до нуля загальний реактивний опір еквівалентної схеми (рис. 2). На еквівалентній схемі L_{KB} , C_{KB} , R_s – індуктивність і ємність корпусу варактора, R_s –

опір втрат, $C(U)$ – змінна ємність, що створюється зміною напруги на варакторі, X_{LB} , X_{BB} , X_{LD} , X_{dd} – еквівалентні параметри стрижневих діодотримачів, на яких розташовуються варактор і ЛПД відповідно Z_b , X_d – реактивні опори смугових ліній у ланцюзі живлення варактора і ЛПД, R_d , X_d – активний і результативний опір ЛПД, який визначається експериментально залежно від частоти, C_{kd} – ємність корпуса ЛПД.

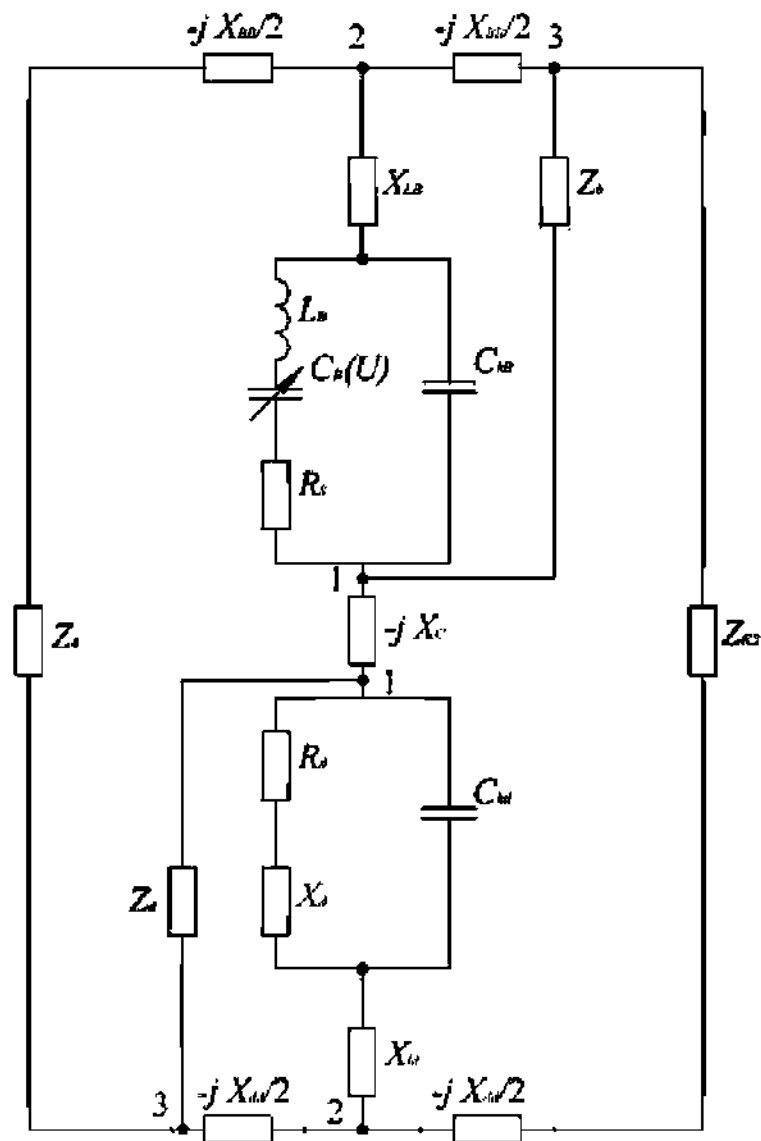


Рис.2. Еквівалентна схема ГЛПД з електронною перебудовою частоти.

Зліва на еквівалентній схемі генератор навантажений на хвилевий опір хвилеводу, справа – короткозамкнутим відрізком з опором Z_o та βl_k , де l_k – довжина короткозамкненого відрізка (відстань від стінки короткозамикача до центру діодоутримувача) $\beta = 2\pi / \lambda_0$ (λ_0 – довжина хвилі в хвилеводі).

Варактор і ЛПД по високій частоті зв'язані ємністю, яка утворюється в результаті перекриття струмопровідних смужок. Вона може бути визначена як ємність плоскопаралельного конденсатора

$$C_s = \epsilon_0 \epsilon \frac{lW}{d}, \quad (2)$$

де d – відстань між пластинами;

l – довжина ділянок, що перекриваються;

W – найменша ширина смужок.

Еквівалентна схема (рис. 1) за допомогою перетворення трикутника (точки 1, 2, 3) в зірку може бути зведена спочатку в схему на рис. 2, потім до схеми на рис. 3.

Параметри узагальненої еквівалентної схеми на рис. 3 мають наступні позначення

$$Z_0 = Z_0 - j \frac{X_{ee}}{2}, \quad (3)$$

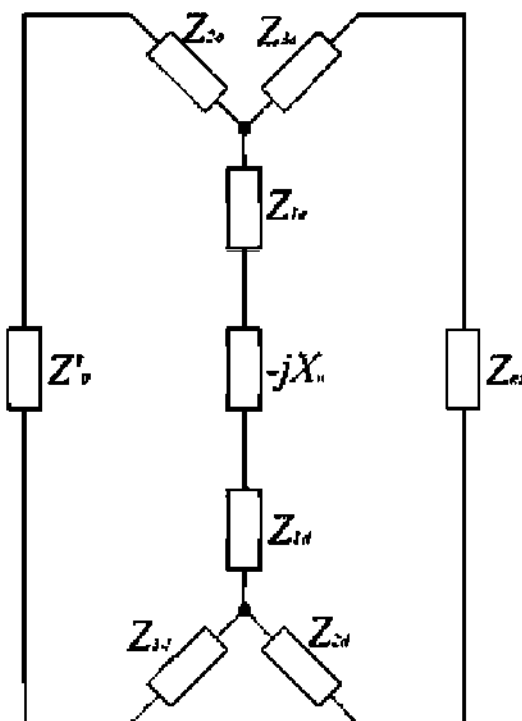


Рис.3. Узагальнена схема ГЛПД з електронною перебудовою частоти.

$$Z_{k3} = j \left(Z_0 \tan \beta l - \frac{X_{ee}}{2} \right), \quad (4)$$

$$Z_{1e} = \frac{Z_e}{V_e} \left\{ R_e X_{ze} + j [R_e^2 + Z_{xe} (X_e + X_{Le})] \right\}, \quad (5)$$

де $X_{2e} = Z_e - \frac{X_{ee}}{2}$;

$$Z_{xe} = X_e + X_{Le} - \frac{X_{ee}}{2}, \quad (6)$$

$$R_e = R_s / S_H, \quad (7)$$

$$X_e = - \left[R_s^2 \omega C_L + \omega L_e - \frac{1}{\omega C(U)} \right] \left[\omega^2 C_L L - 1 - \frac{C_L}{C(U)} \right] / S_H, \quad (8)$$

$$S_H = (\omega C_L R_s)^2 + \left[\omega^2 C_k L_e - \left(1 + \frac{C_k}{C(U)} \right) \right]^2, \quad (9)$$

$$V_e = R_e^2 + Z_{xe}^2, \quad (10)$$

$$Z_{2e} = \frac{Z_{1e} X_{ee}}{2 Z_e}; \quad Z_{3e} = - \frac{Z_e X_{ee}}{2 V_e} (R_e - j Z_{xe}), \quad (11)$$

$$Z_e = Z_{0e} \tan k l_s, \quad (12)$$

Хвилевий опір Z_{0e} струмопровідної смугової лінії залежить від висоти лінії h (відстань від пластиини до широкої стінки хвилеводу), її ширини W і визначається відповідним виразом

$$Z_{0e} = 120\pi \left[\frac{W}{h} + 1,393 + 0,997 \ln \left(\frac{W}{h} + 1,444 \right) \right], \quad (13)$$

Вираз для обчислення параметрів Z_{1d} , Z_{3d} отримуємо заміною індексу e на d в (1-2), наприклад,

$$Z_{1d} = \frac{Z_d}{V_d} \{ R_d X_{Zd} + j [R_d^2 + Z_{xd} (X_d + X_{Ld})] \}, \quad (14)$$

$$X_{Zd} = Z_d - \frac{X_{dd}}{2} Z_{xd} = X_d + X_{Ld} + Z_d - \frac{X_{dd}}{2}, \quad (15)$$

де R_d , X_d – параметри еквівалентної схеми на рис. 3.

У явному вигляді загальний реактивний опір еквівалентної схеми має громіздкий вигляд, тому не наводиться. Для розрахунків, після нескладних перетворень схеми на рис. 3, були отримані рівняння для еквівалентної схеми на рис. 4.

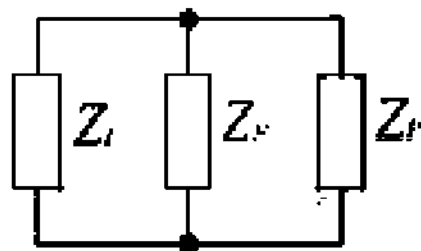


Рис.4. Еквівалентна схема для частоти генератора на ЛПД.

$$Z_L = Z_0 + R_{2e} + R_{3d} + j \left(X_{2e} + X_{3d} - \frac{X_{dd}}{2} \right), \quad (16)$$

$$Z_{\Sigma} = R_{1e} + R_{1d} + j \left(X_{1e} + X_{1d} - \frac{1}{\omega C_s} \right), \quad (17)$$

$$Z_p = R_{3e} + R_{2d} + j \left(X_{3e} + X_{2d} - \frac{X_{ee}}{2} \right), \quad (18)$$

Розраховуючи опір стрижневих діодоутримувачів, використовували співвідношення для стрижня круглого поперечного перетину, встановленого паралельно вектору електричного поля в центрі поперечного перетину хвилеводу, в якому розповсюджується H_{10} -хвиля [5].

$$X_{ee(dd)} = Z_0 \frac{d}{\lambda_e} \frac{\left(\frac{\pi d}{\lambda}\right)^2}{1 + \frac{1}{2} \left(\frac{\pi d}{\lambda}\right)^2 \left(S_2 + \frac{3}{4}\right)}, \quad (19)$$

$$X_{Le} = \frac{X_{ee}}{2} + \frac{aZ_0}{2\lambda_e} \left[S_0 - \left(\frac{\pi d}{2\lambda}\right)^2 - \frac{5}{8} \left(\frac{\pi d}{2\lambda}\right)^4 - 2 \left(\frac{\pi d}{2\lambda}\right)^4 \left(S_0 - 2S_0 \frac{\lambda^2}{\lambda_e^2}\right) \right], \quad (20)$$

$$S_2 = \ln \frac{4a}{\pi d} - \frac{5}{2} + \frac{11}{3} \left(\frac{\lambda}{2a}\right)^2 \sum_{n=35}^{\infty} \left[\sqrt{h^2 - \left(\frac{2a}{\lambda}\right)^2} - n + \frac{2}{n} \left(\frac{a}{\lambda}\right)^2 \right], \quad (21)$$

де a – ширина хвилеводу;

d – діаметр стрижня.

Вказані співвідношення справедливі для стрижня, що повністю замикає хвилевід по вузькій стінці. Утримувачі не мають конкретної висоти, тому $X_{ee(dd)}$, X_{Le} визначалися з урахуванням прямої пропорційності опору висоті стрижня.

Дослідження показали, що таке наближення при розрахунку реактивних опорів стрижневих утримувачів не вносить істотних розбіжностей між теоретичними і експериментальними результатами.

Аналіз еквівалентної схеми (рис. 3) показує, що реактивний опір може дорівнювати нулю тільки в другій і третій гілках. Рівність нулю Z_p обумовлена резонансом в області, обмеженою короткозамикаючою стінкою і стрижневими діодоутримувачами, а Z_{Σ} – резонансом в реактивному ланцюзі, створеному стрижнями варактора і ЛПД, безпосередньо самими діодами, а також ємністю зв'язку.

На рис. 5 наведені розрахункові залежності частоти генератора від напруги живлення на варакторі для різних значень діаметра утримувача варактора і ширини струмопровідної смужки.

З результатів графічного матеріалу видно, що із збільшенням діаметра утримувача варактора можна змістити межу діапазону перебудови частоти генератора вгору по діапазону, зменшити величину напруги на варакторі практично з постійною крутизною перебудови частоти генератора.

Аналіз флюктуаційних характеристик ГЛПД показує, що є необхідність проведення досліджень щодо мінімізації частотних (фазових) флюктуаційних процесів генератора на ЛПД.

Вплив частотних флюктуацій ГЛПД на точність вимірювання ДП дихання рослин визначимо за критерієм мінімуму дисперсії частоти коливань на виході ГЛПД, яка визначається виразом [1]

$$\sigma^2 = \frac{1}{2\pi} \int_0^\infty S_\varphi(\Omega) \frac{1}{1+(0.5\Omega\tau)^2} d\Omega, \quad (22)$$

де $S_\varphi(\Omega)$ – енергетичний спектр частотних флюктуацій на виході ГЛПД;

τ – інтервал вимірювання

Енергетичний спектр частотних флюктуацій на виході системи вимірювання ДП дихання рослин може бути представлений виразом [6]

$$S_\varphi(\Omega) = S_{\varphi\Gamma}(\Omega) \left| \frac{1}{1+W(j\Omega)} \right|^2, \quad (23)$$

де $S_{\varphi\Gamma}(\Omega)$ – енергетичний спектр флюктуацій частоти ГЛПД;

$W(j\Omega)$ – передавальна функція розімкненої системи ЧАП.

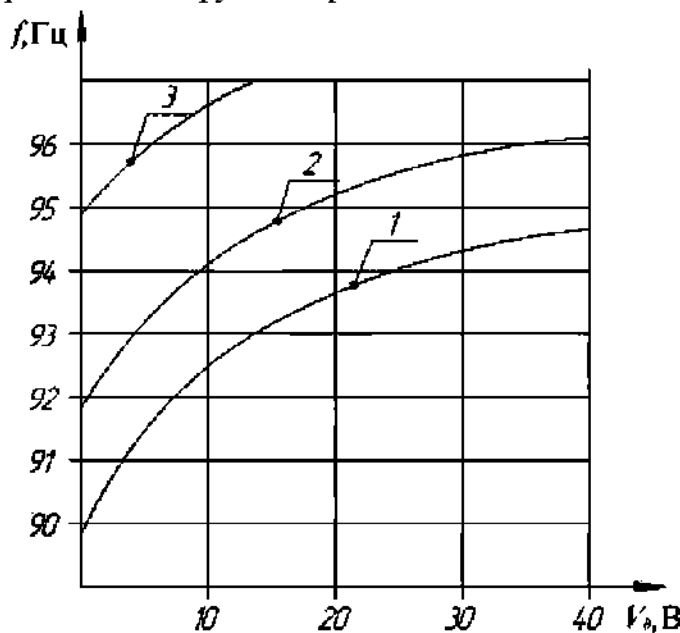


Рис. 5. Залежність частоти генератора від напруги живлення

1 – діаметр утримувача варактора $d_B = 1$ мм, ширина струмопровідної смужки $W = 2,1$ мм; 2 – $d_B = 1,5$ мм, $W = 2,1$ мм; 3 – $d_B = 2,2$ мм, $W = 2,1$ мм.

Оцінка шумів системи, обумовлених флюктуаціями параметрів ПД (диференціальна провідність і ємність діода), проводиться за умови, що флюктуації параметрів носять флікерний характер.

Крім того передбачається, що флуктуації параметрів малі в порівнянні з середніми значеннями провідності діода.

Зроблені припущення дозволяють використовувати метод, який полягає в тому, що нелінійний активний елемент представляється у вигляді двополюсника з активною і реактивною складовими провідності

$$Y_d(j\omega) = G_d + jB_d(\omega) = |Y_d(j\omega)|e^{j\varphi_{d1}}, \quad (24)$$

де φ_{d1} – зрушення фаз між першою гармонікою струму і напругою на діоді.

Відхилення частоти автоколивань $\Delta\omega$ від початкового значення ω_0 при зміні активної і реактивної провідності можна описати через фазовий кут середньої провідності діода

$$\varphi_{d1} = -\arctan \frac{Bd_1(\omega)}{Gd_1(\omega)}, \quad (25)$$

Флуктуації фазового кута φ_{d1} в лінійному наближенні дорівнюють

$$\Delta\varphi_{d1} \approx G_1 \frac{\partial\varphi_{d1}}{\partial G_1} \delta G_1 + B_1 \frac{\partial\varphi_{d1}}{\partial B_1} \delta B_1, \quad (26)$$

де $\delta G_1 = \Delta G_1 / G_1$; $\delta B_1 = \Delta B_1 / B_1$.

Враховуючи, що крутизна фазочастотної характеристики коливальної системи ($-\omega \partial\varphi_k / \partial\omega$) поблизу резонансної частоти дорівнює $2Q_H$, отримаємо вираз для спектральної щільності відносних флуктуацій частоти коливань, що генеруються

$$S_\varphi(\Omega) = \left(\frac{\omega_0}{2Q_H} \right)^2 \left[A_1^2 S_{\delta G_1}(\Omega) + D_1^2 S_{\delta B_1}(\Omega) + 2A_1 D_1 \cdot P_{G_1 B_1}(\Omega) - S_{\delta G_1}(\Omega) \cdot S_{\delta B_1}(\Omega) \right], \quad (27)$$

де $A_1 = G_1 \frac{\partial\varphi_{d1}}{\partial G_1}$, $D_1 = B_1 \frac{\partial\varphi_{d1}}{\partial B_1}$, $S_{\delta G_1}(\Omega)$, $S_{\delta B_1}(\Omega)$ – спектральні щільності відносних флуктуацій провідності і ємності ЛПД;

$P_{G_1 B_1}(\Omega)$ – коефіцієнт взаємної кореляції між флуктуаціями G_1 і B_1 .

Оскільки флуктуації провідності і ємності ЛПД викликані однією і тією ж причиною $\delta G_1 \approx \delta B_1$, то $S_{\delta G_1}(\Omega) \approx S_{\delta B_1}(\Omega)$ і $P_{G_1 B_1}(\Omega)$, то тоді (27) з урахуванням того, що $G_v(\Omega)$ носить флікерний характер, набуває вигляду

$$S_\varphi(\Omega) = \omega_0^2 A_v(\Omega) \cdot \Omega^{-\alpha}, \quad (28)$$

де $A_v(\Omega) = [(A_1 + D_1)/2Q_H]^2$, (29)

Чисельну оцінку коефіцієнтів A_1 і D_1 , обумовлених флуктуаціями параметрів ЛПД, знайдемо, скориставшись еквівалентною схемою ГЛПД (рис. 6).

У еквівалентній схемі ємність корпусу діода включена в ємність еквівалентного контура генератора С.

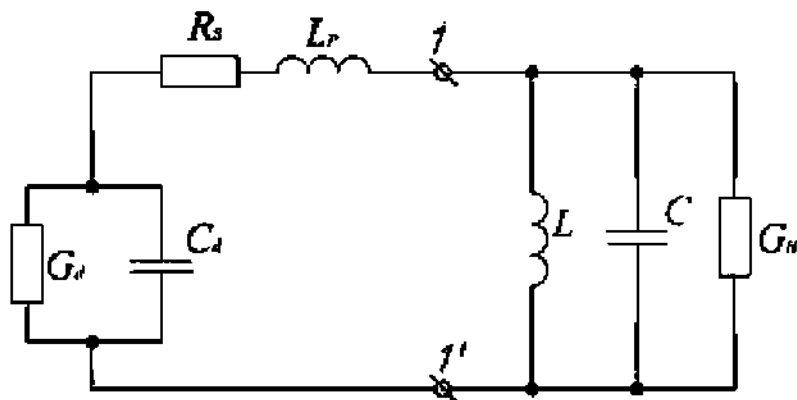


Рис. 6. Спрощена еквівалентна схема ГЛПД.

Як видно з еквівалентної схеми, провідність ЛПД з урахуванням реактивних параметрів характеризується комплексною величиною, що є функцією частоти

$$Y_d(j\omega) = G_d(\omega) + jB_d(\omega), \quad (30)$$

Виражаючи через параметри еквівалентної схеми, рівняння (30) запишемо у вигляді

$$Y_d(j\omega) = \frac{-G_d \left(1 - R_s G_d - R_s C^2 \omega^2 / C_d\right) + j\omega C \left(1 - C_d^2 \frac{L_p}{C} - L_p C \omega^2\right)}{\left(\frac{C \omega}{G_d}\right)^2 \left(-R_s G_d + \frac{L_p C_d^2}{C}\right) + \left(1 + R_s G_d - L_p C \omega^2\right)}, \quad (31)$$

де G_d – провідність діода;

R_s – опір втрат;

C_d – ємність діода;

L_p – індуктивність контактного дроту.

Для аналізу флюктуаційних властивостей ЛПД за наявності нелінійних елементів C_d , C коливань великої амплітуди необхідно замінити параметри цих елементів їх середніми значеннями по першій гармоніці G_{d1} і C_1 . Це дозволить замінити нелінійну провідність ЛПД в точках 1 – 1' еквівалентної схеми (рис. 6) лінеаризованою провідністю (середньою по першій гармоніці).

$$Y_{d1}(j\omega) = G_{d1}(\omega) + jB_{d1}(\omega) = |Y_{d1}(\omega)|e^{j\gamma_{d1}}, \quad (32)$$

$$G_{d1}(\omega) = \frac{G_1 \left(1 - R_s G_1 - R_s C_1^2 \omega^2 / G_1\right)}{\left(\frac{C_1 \omega}{G_1}\right)^2 \left(-R_s G_1 + \frac{L_p C_1^2}{C_1}\right) + \left(1 - R_s G_1 - L_p C_1 \omega^2\right)^2}, \quad (33)$$

$$B_{d1}(\omega) = \frac{\omega C_1 \left(1 - G_1^2 \frac{L_p}{C_1} - L_p C_1 \omega^2\right)}{\left(\frac{C_1 \omega}{G_1}\right)^2 \left(-R_s G_1 + \frac{L_p C_1^2}{C_1}\right) + (1 - R_s G_1 - L_p C_1 \omega^2)^2}, \quad (34)$$

З виразів (33, 34) величини $G_{d1}(\omega)$ і $B_{d1}(\omega)$ залежавши від амплітуди першої гармоніки на контурі U_1 в точках 1 – 1' еквівалентної схеми, оскільки G_d і I_3 залежать від U_1 . Для ГЛПД в стаціонарному режимі рівняння балансу фаз записується у вигляді

$$\varphi_{d1} + \varphi_k = 0, \quad (35)$$

де φ_{d1} , φ_k – зрушення фаз між першою гармонікою КВЧ струму I_1 і напругою на діоді і контурі.

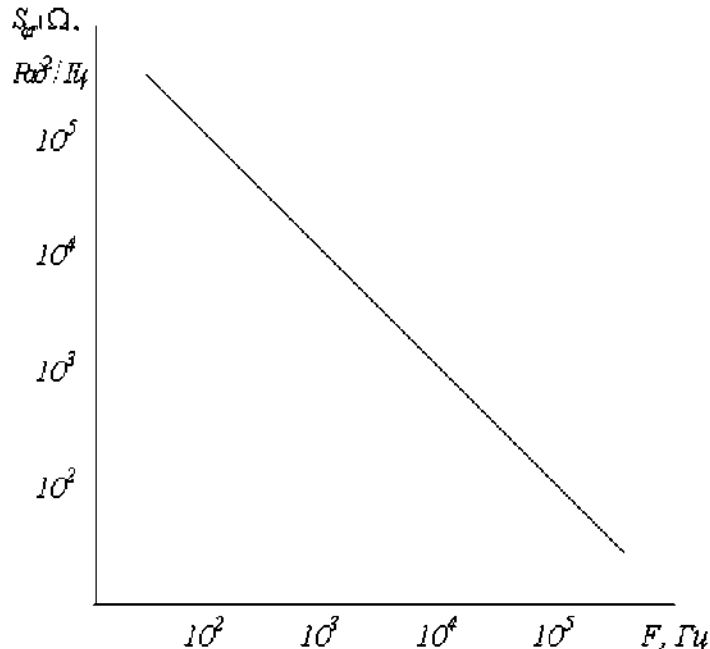


Рис.7. Залежність спектральної щільності частотних флюктуацій ГЛПД від частоти аналізу.

Фазовий кутсередньої провідності визначається як

$$\varphi_{d1} = -\arctan \frac{\omega C_1 - \omega L_p G_1^2 - \omega^3 L_p G_1^2}{G_1 - R_s G_1^2 \omega^2}, \quad (36)$$

Флюктуації фазового кута знаходимо як

$$\Delta\varphi_{d1} \approx A_1 \delta G_1 + B_1 \delta C_1, \quad (37)$$

$$A_1 = G_1 \frac{\omega L_p (C_1^2 - \omega^2 C_1) + \omega C_1 (1 - 2R_s G_1)}{(G_1 - R_s G_1^2 - R_s C_1^2 \omega^2)^2 + (\omega C_1 - \omega L_p G_1^2 - \omega^3 L_p C_1^2)^2}, \quad (38)$$

$$B_1 = C_1 \frac{\omega (G_1 - R_s G_1^2) + \omega^3 C_1^2 L_p^3 \left(2G_1 - \frac{C_1}{L_p} R_s\right)}{(G_1 - R_s G_1^2 - R_s C_1^2 \omega^2)^2 + (\omega C_1 - \omega L_p G_1^2 - \omega^3 L_p C_1^2)^2}, \quad (39)$$

Для розрахунків дисперсії і нестабільності частоти ГЛПД були використані параметри: $f_0 = 95 \cdot 10^9$ Гц; $P_0 = 0,1$ Вт; $Q_n = 10^3$; $R_d = 3$ Ом; $R_S = 0,5$ Ом; $L_p = 0,1 \cdot 10^{-9}$ Гн; $C_1 = 0,2 \cdot 10^{-12}$ Ф; $U_0 = 15$ В; $I_0 = 0,1$ А; $K_I = 10^{-7}$ В/Гц; $K_2 = 10^2$; $K_3 = 1$; $K_4 = 10^2$; $K_5 = 10^8$ Гц/В; $T_1 = 10^{-7}$ с; $T_2 = 10^{-6}$ с; $T_3 = 0,1$ с.

На рис. 7 наведена залежність спектральної щільності частотних флуктуацій ГЛПД від частоти аналізу.

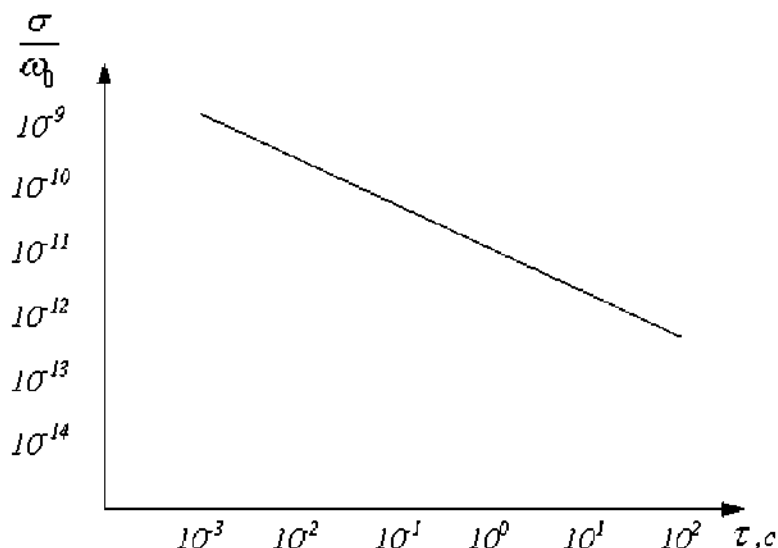


Рис. 8. Нестабільність частоти генератора на ЛПД від часу вимірювання.

Розрахункові результати нестабільності частоти ГЛПД від часу вимірювань в системі контролю ДП дихання рослин наведені на рис. 8. Наведені результати теоретичних досліджень показують, що ЛПД мають високий рівень флікерних шумів. В той же час збільшення добротності зовнішнього контура і вибір оптимальних режимів роботи дозволяють істотно понизити рівень частотних шумів і ефективно подавити швидкі флуктуації частоти, що забезпечує малі значення короткочасової нестабільності частоти ГЛПД в межах $10^{-8} \dots 10^{-9}$ степені

Висновки. В якості генератора мм діапазону в системі вимірювання ДП газового середовища рослин слід використовувати лавино-прольотний діод з крутизною електронної перебудови частоти 108 Гц/В і відносною нестабільністю частоти в межах $10^{-8} \dots 10^{-9}$.

Застосування в системі вимірювання ДП газового середовища рослин пристрою перетворення частоти з параметрами: $K_I = 10^{-7}$ В/Гц; $K_2 = 10^2$; $K_3 = 1$; $K_4 = 10^2$; $K_5 = 10^8$ Гц/В; $T_1 = 10^{-7}$ с; $T_2 = 10^{-6}$ с; $T_3 = 0,1$ с. дозволить забезпечити величину перерегулювання менше 10%, час встановлення переходного процесу $0,8 \cdot 10^{-5}$ с і дисперсію помилки в межах 10^{-2} .

Література

- 1 *V. Prabhu.* Noise performance of abrupt – junction varaktor frequency multipliers// Proc. IEEE. - 1966. - V.54, № 2. - p. 285.
- 2 Вальд-Перлов В.М. О минимальном уровне амплитудного шума генераторов на ЛПД / В.М.Вальд-Перлов, Л.С.Сибирцев, А.С.Тигер // Радиотехника и электротехника - 1977. - Т. 22. - № 10. - С. 2186-2189.
- 3 Бугаев А.В. Частотная зависимость модуляционных шумов ГЛД / А.В.Бугаев // Электронная техника. Серия 1 - 1977. - № 2. - С. 103-105.
- 4 Бычков С.И. Стабилизация частоты генераторов СВЧ / С.И.Бычков, Н.И.Буренин, Р.Т.Сафаров - М.: Сов. радио, 1962. - 376 с.
- 5 Конструирование и расчет полосковых устройств / Голубев В.И., Ковалев И.С., Кузнецов Е.Г. и др.; под ред. И.С. Ковалева - М.: Сов. радио, 1974. - 295 с.
- 6 Коновалов Г.Ф. Радиоавтоматика: Учеб. для вузов / Г.Ф. Коновалов - М.: Высш. шк., 1990. - 335 с.

**РАЗРАБОТКА ГЕНЕРАТОРА МИЛЛИМЕТРОВОГО
ДИАПАЗОНА НА ЛПД С ЭЛЕКТРОННОЙ ПЕРЕСТРОЙКОЙ
ЧАСТОТЫ**

Ю.М. Куценко

Аннотация – обоснованы параметры генератора миллиметрового диапазона в системе измерения диэлектрической проницаемости газовой среды растений, представлен анализ флюктуационных характеристик.

**DEVELOPMENT OF GENERATOR MILLIMETER RANGE
FOR ATD WITH ELECTRONIC FREQUENCY TUNING**

Yu. Kutsenko

Summary

The parameters of the generator milimet-rovogo range in the measurement system of the dielectric-bility of the gas medium of plants, represented анализ fluktatsion-acteristics.